

Algorithmische Bestimmung von Teilchenflugbahnen durch inhomogene Magnetfelder

23. Januar 2018

Christian Peters

Motivation

- > Planung physikalischer Experimente
 - > Welche Ereignisse können auftreten?
 - > Kann der Versuch in der Praxis durchgeführt werden?
- > Computergestützte Simulation liefert Antworten
 - > Ermöglicht das wiederholte Durchspielen eines Versuchs
- > Enormes finanzielles Einsparpotential
 - > Die Zeiten von „trial and error“ sind vorbei
 - > Ein Versuch wird nur dann in der Praxis durchgeführt, wenn er vorher alle Simulationstests bestanden hat
- > Wie entsteht ein solches Verfahren?

Motivation

- > Magnetische Felder werden in vielen großen Versuchsaufbauten eingesetzt (CERN, IKP am FZJ, ...)
 - > lenken freie Ladungsträger auf bestimmte Bahnen
 - > ermöglichen Rückschlüsse auf Teilchenbeschaffenheit durch Analyse des Flugverhaltens
- > Wie können diese Vorgänge simuliert werden?

Physikalische Grundlagen

Die Lorentz-Kraft

- > proportional zur Ladung Q des Teilchens
- > proportional zur Geschwindigkeit v
- > senkrecht zur Bewegungsrichtung
- > senkrecht zur Magnetfeldrichtung
- > ändert sich abhängig vom Winkel α zwischen Teilchenbewegung und Magnetfeld
- > Wirkungsrichtung? → Linke-Hand-Regel

$$F_L = Q \cdot v \cdot B \cdot \sin \alpha$$

Physikalische Grundlagen

Die gleichförmige Kreisbewegung

- > Körper muss durch Zentripetalkraft F auf Bahn gehalten werden
- > F ist radial zum Mittelpunkt des Kreises gerichtet

$$F = \frac{mv^2}{r} = m\omega^2 r$$

- > m ist die Masse des Körpers
- > v ist die Bahngeschwindigkeit
- > ω ist die Winkelgeschwindigkeit
- > r ist der Radius der Kreisbahn

Physikalische Grundlagen

Beschreibung der Flugbahn

- > Unterteilung von v in v_{\perp} und v_{\parallel}
- > v_{\parallel} von Lorentz-Kraft unbeeinflusst, daher gleichförmige Bewegung
 - > $S = v_{\parallel} \cdot t$
- > auf v_{\perp} wirkt Lorentz-Kraft wie Zentripetalkraft \rightarrow Kreisbewegung
- > durch Gleichsetzen und Umformen ergeben sich folgende Zusammenhänge:

$$r = \frac{m \cdot v_{\perp}}{Q \cdot B}$$

$$\omega = \frac{Q \cdot B}{m}$$

Aufbau des Verfahrens

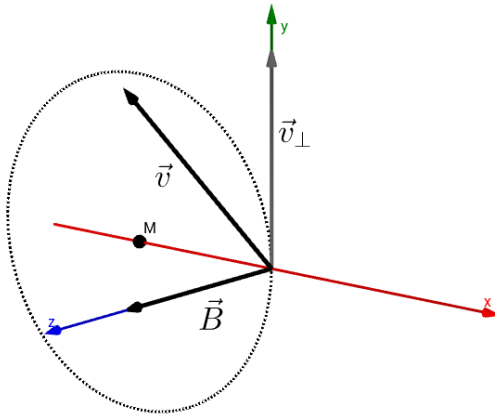


Abbildung: Das lokale Koordinatensystem des im Ursprung befindlichen Ladungsträgers mit Andeutung der Kreisbahn in der xy-Ebene.

Aufbau des Verfahrens

Die Flugbahn im lokalen Bezugssystem

- > v_{\parallel} verfolgt gleichförmige Bewegung
- > v_{\perp} verfolgt Kreisbewegung in der xy -Ebene
- > allgemeine Beschreibung von Kreisbewegungen in der Ebene:

$$\begin{pmatrix} x(t) \\ y(t) \end{pmatrix} = \begin{pmatrix} r \cdot \sin(\omega \cdot t) + M_x \\ r \cdot \cos(\omega \cdot t) + M_y \end{pmatrix}$$

- > unter Verwendung der bisherigen Überlegungen ergibt sich konkret:

$$\begin{pmatrix} x(t) \\ y(t) \\ z(t) \end{pmatrix} = \begin{pmatrix} r \cdot \sin(\omega \cdot t) - r \\ r \cdot \cos(\omega \cdot t) \\ \vec{v}_z \cdot t \end{pmatrix}$$

Aufbau des Verfahrens

Übertragung auf das globale Koordinatensystem

1. Transformation von \vec{v} und \vec{B} in das lokale Bezugssystem des Teilchens (\rightarrow Basiswechsel)
2. Anwendung der hergeleiteten Zusammenhänge im lokalen System
 \rightarrow neue Teilchenposition und Bewegungsrichtung
3. Rücktransformation (\rightarrow Zurück zur alten Basis)
 - > Hierzu: Verwendung von orthogonalen Transformationen
 - > Drehung von \vec{v} und \vec{B}
 - > Eulersche Winkel
 - > ermöglichen Drehungen um bereits gedrehte Achsen
 - > Wie lauten die Drehwinkel?

Aufbau des Verfahrens

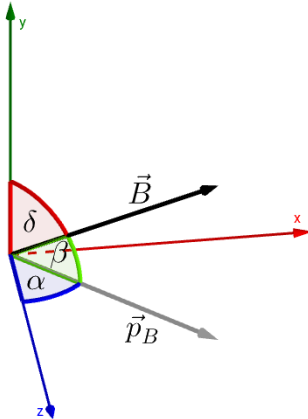


Abbildung: Illustration der Winkel α , β und δ , die zur Drehung der z -Achse benötigt werden.

Aufbau des Verfahrens

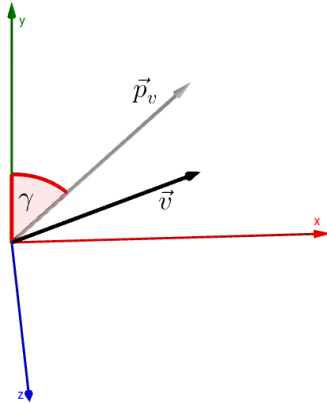


Abbildung: Darstellung des Winkels γ , welcher zur Transformation von \vec{v} benötigt wird.

Aufbau des Verfahrens

Ausweitung auf inhomogene Magnetfelder

- > lokale Approximation durch ein homogenes Magnetfeld
 - > Diskretisierung des inhomogenen Feldes
- > Berechnung der neuen Position in der lokalen Approximation
- > Generierung einer neuen Approximation nach jedem Update von Position und Bewegungsrichtung
 - > mehrere Iterationen
- > Zeit t als Diskretisierungsparameter
 - > wie „lange“ soll das lokal homogene Modell verwendet werden?
- > je kleiner t , desto genauer das Verfahren
- > Wann endet die Simulation?

Aufbau des Verfahrens

Abbruchkriterien

- > Schnittpunkt der Flugbahn mit einer Ebene
 - > Bestimmte Bereiche im Detektor können durch Ebenen abgetrennt werden
- > Zurücklegen einer maximalen Distanz
 - > Verwendung eines Bezugspunktes zur Berechnung der Entfernung
- > Wechsel der Detektorgeometrie
 - > Stop der Iteration bei Eintritt in irrelevante Detektorabschnitte
- > Passieren eines bestimmten Ortes
 - > Stop der Iteration wenn Distanz zu gegebenem Ort minimal wird
- > logische Verknüpfungen der Bedingungen
- > ...

Aufbau des Verfahrens

Der resultierende Algorithmus

- > solange Abbruchbedingung nicht erfüllt:
 1. erfrage die Größen \vec{B} , \vec{v} , sowie die aktuelle Position
 2. berechne die Winkel für die Basistransformation
 3. führe den Basiswechsel durch
 4. berechne die neue Position in der lokalen Basis und aktualisiere die Richtung von \vec{v}
 5. transformiere zurück in die alte Basis
 6. speichere die neue Teilchenposition

Implementierung

- > Was
- > geht
- > ab?

Ausblick

- > Was
- > geht
- > ab?



Gerd Fischer. *Lernbuch Lineare Algebra und Analytische Geometrie*. 2. Aufl. Springer Vieweg, 2012. ISBN: 978-3-8348-2379-3.



Helmut Vogel. *Gerthsen Physik*. 20. Aufl. Springer-Verlag, 1999. ISBN: 3-540-65479-8.